

Università degli studi di Roma
Tor Vergata



Risoluzione di PDE tramite metodi MultiGrid in ambiente CUDA

Relatore

Ing. Daniele Carnevale

Candidato

Claudio Pupparo

Correlatore

Prof. Sergio Galeani

Introduzione

- Studio di algoritmi per la risoluzione di Equazioni Differenziali alle Derivate Parziali (**PDE**)
- Studio di librerie per la parallelizzazione e l'esecuzione di tali algoritmi su GPU (**CUDA**)
- Implementazione degli algoritmi risolutori su CPU e GPU (CUDA)
- Test prestazionali: confronto risultati ottenuti con GPU e CPU

PDE

Partial Differential Equations

$$u_{xx} = f(x, y) \quad (1)$$

Perchè sono importanti?

Vengono utilizzate per descrivere l'evoluzione di sistemi:

- Fisici (propagazione suono e calore, fluidodinamica...)
- Biologia (dinamica delle popolazioni)
- Mercati Finanziari (previsioni di mercato)
- Meteorologia (previsioni del tempo)
- Computer Graphics

PDE

Una descrizione completa di una PDE è fornita tramite:
Problemi dei valori al contorno (**Problemi di Cauchy**)

{	$u_{xx} = f(x, y)$	$\Omega: 0 < x < 1, 0 < y < 1$	
	$u = 0$	$x \in \partial\Omega$	Dirichlet
	$u_x = 0$	$x \in \partial\Omega$	Neumann

--- PDE
--- Dominio
--- Condizioni al contorno

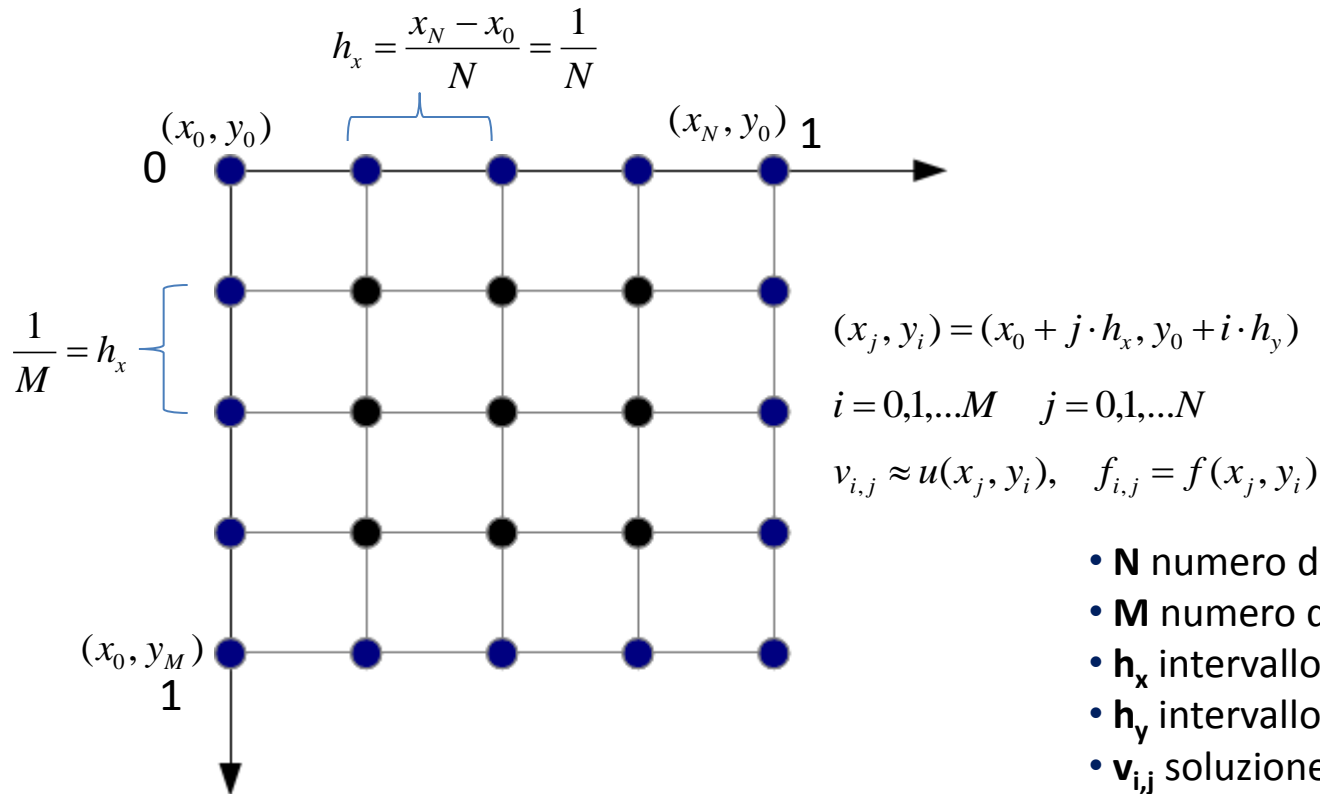
Per alcune PDE è molto difficile trovare una soluzione esplicita.

$$u(x, y) = ??$$

Metodi Numerici: forniscono il valore della soluzione in determinati punti del dominio.

PDE – Metodi Numerici

Discretizzazione: Il dominio viene diviso in una **griglia** di punti



- **N** numero di punti lungo asse x (escluso x_0)
- **M** numero di punti lungo asse y (escluso y_0)
- **h_x** intervallo fra due punti lungo asse x
- **h_y** intervallo fra due punti lungo asse y
- **$v_{i,j}$** soluzione approssimata in (x_j, y_i)
- **$f_{i,j}$** valore funzione nota in (x_j, y_i)

PDE – Metodi Numerici

Come esprimere le derivate? **Espansione di Taylor:**

$$v_{i+1,j} = v_{i,j} + v'_{i,j} h_y + o(h_y^2) \longrightarrow v'_{i,j} = \frac{v_{i+1,j} - v_{i,j}}{h_y} + o(h_y) \quad (2)$$

$$\left. \begin{aligned} v_{i+1,j} &= v_{i,j} + v'_{i,j} h_y + v''_{i,j} \frac{h_y^2}{2!} + v'''_{i,j} \frac{h_y^3}{3!} + o(h_y^4) \\ v_{i-1,j} &= v_{i,j} - v'_{i,j} h_y + v''_{i,j} \frac{h_y^2}{2!} - v'''_{i,j} \frac{h_y^3}{3!} + o(h_y^4) \end{aligned} \right\} v''_{i,j} = \frac{v_{i+1,j} - 2v_{i,j} + v_{i-1,j}}{h_y^2} + o(h_y^2) \quad (3)$$

$$u_{xx} = f(x, y) \longrightarrow \frac{v_{i,j+1} - 2v_{i,j} + v_{i,j-1}}{h_x^2} = f_{i,j} \quad (4)$$

PDE – Metodi Iterativi

Discretizzazione:
$$\frac{v_{i,j+1} - 2v_{i,j} + v_{i,j-1}}{h_x^2} = f_{i,j} \quad (5)$$

Risolvendo rispetto a $v_{i,j}$:
$$v_{i,j} = \frac{v_{i,j+1} + v_{i,j-1} - h_x^2 \cdot f_{i,j}}{2} \quad (6)$$

E' possibile sviluppare un'iterazione:

*Per ogni punto **interno** alla griglia applica il **Passo di Rilassamento** (6)*

Algoritmi Iterativi:

- **Jacobi**
- **Gauss-Seidel**
- **Red-Black Gauss-Seidel**

PDE – Red Black Gauss Seidel

Ogni passo di iterazione

$$v_{i,j} = \frac{v_{i,j+1} + v_{i,j-1} - h_x^2 \cdot f_{i,j}}{2} \quad (7)$$

dipende dagli immediati vicini:

- Punti pari dipendono unicamente da punti dispari
- Punti dispari dipendono unicamente da punti pari

Red-Black Gauss-Seidel:

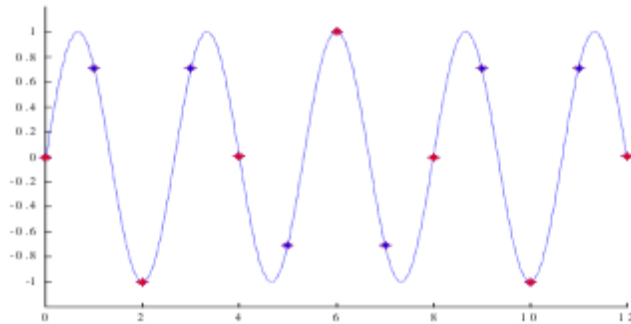
- Aggiorna prima tutti i punti pari
- Aggiorna dopo tutti i punti dispari

Tale metodo è **parallelizzabile!**

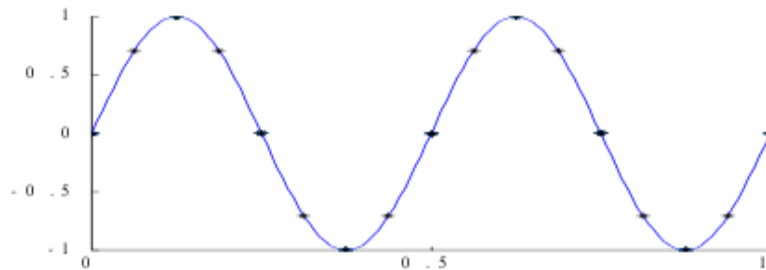
PDE – Red Black Gauss Seidel

Efficienza RB Gauss-Seidel?

- Ottimo nell'eliminare la componente **oscillatoria** dell'errore
- Poco efficiente nell'eliminare la componente **smooth** dell'errore



Componente oscillatoria
(Alta frequenza)



Componente smooth
(Bassa frequenza)

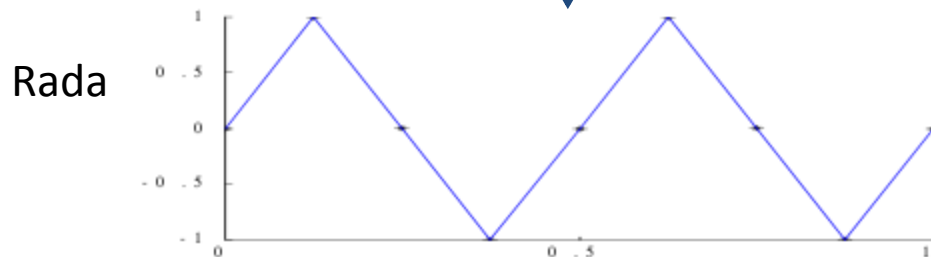
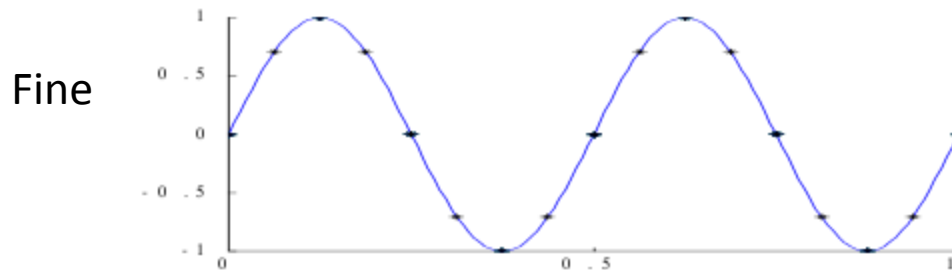
PDE – Metodi MultiGrid

Come superare restrizioni RB Gauss-Seidel?

Introduzione di una gerarchia di Griglie:

- Griglia **fine** - griglia iniziale
- Griglia **rada** - metà dei punti della griglia fine per asse

Perchè utilizzare una griglia rada?



Nel trasferimento di un'onda da una griglia fine ad una griglia rada le **componenti smooth diventano oscillatorie!**
(ottimo per RB Gauss-Seidel)

Alla base dei
metodi MultiGrid

PDE – Metodi MultiGrid

- Trasferimento Griglia Fine \Rightarrow Griglia Rada: **Restrizione**

$$I_h^{2h} v^h = v^{2h} \quad (7)$$

- Trasferimento Griglia Rada \Rightarrow Griglia Fine: **Interpolazione**

$$I_{2h}^h v^{2h} = v^h \quad (8)$$

Espressioni diverse a seconda delle dimensioni (1D, 2D, 3D)

PDE – Metodi MultiGrid

Utilizzando griglie meno dense è possibile trovare una buona approssimazione dell'**errore**:

$$e = u - v \quad (9)$$

Come?

Lavorando sull' **equazione dei residui** :

$$(10) \quad Au = A(v + e) = f \quad \longrightarrow \quad \boxed{Ae = f - Av = r} \quad (11)$$

Risultato Importante:

Lavorare sull'equazione originale $Au = f$ con stima iniziale v è equivalente a lavorare sull'equazione dei residui con stima iniziale $e = 0$

PDE – V Cycle

Primo algoritmo MultiGrid: V-Cycle

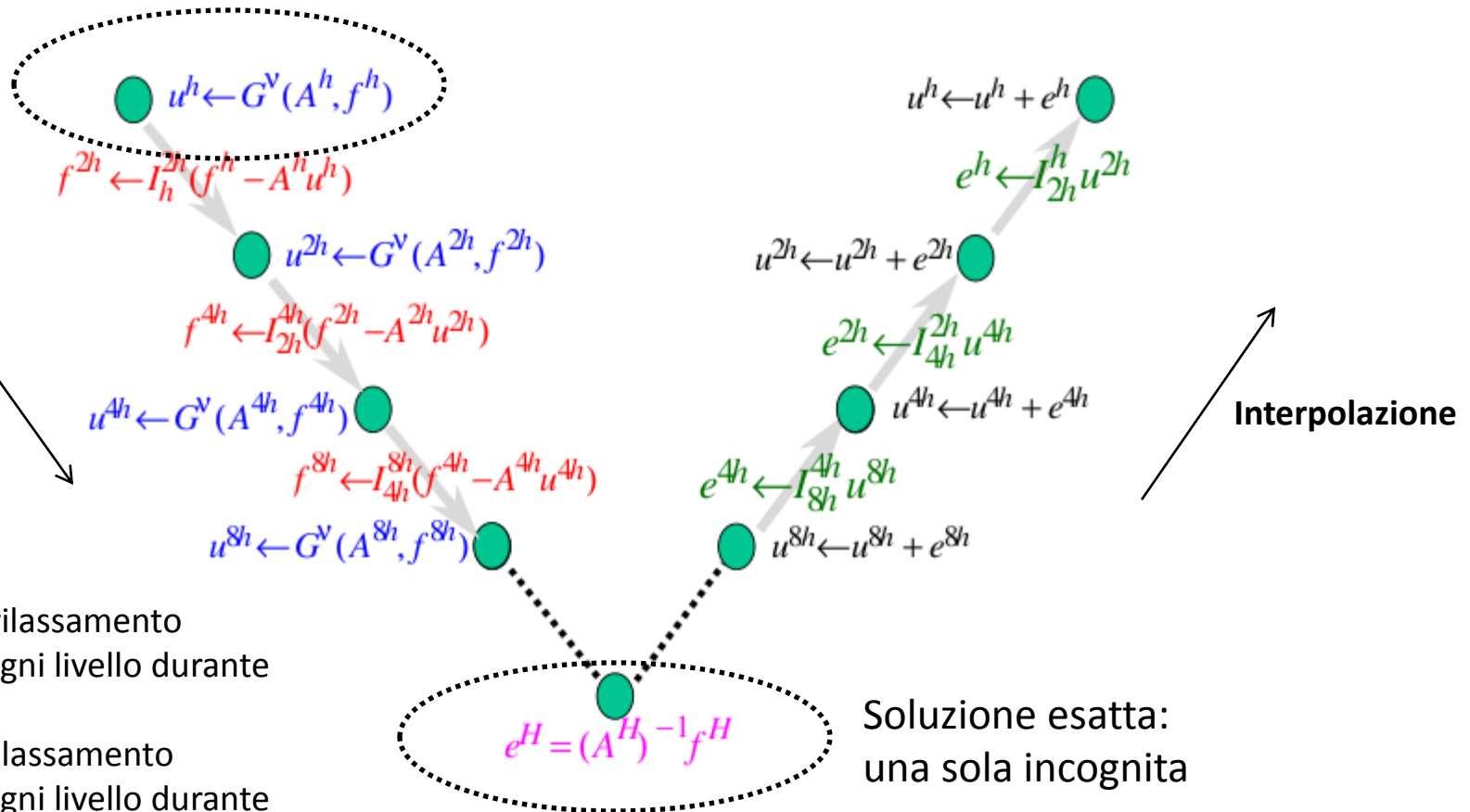
Come ottenere
una buona
stima iniziale?

Restrizione

Parametri:

ν_1 : passi di rilassamento
eseguiti ad ogni livello durante
la discesa

ν_2 : passi di rilassamento
eseguiti ad ogni livello durante
la risalita



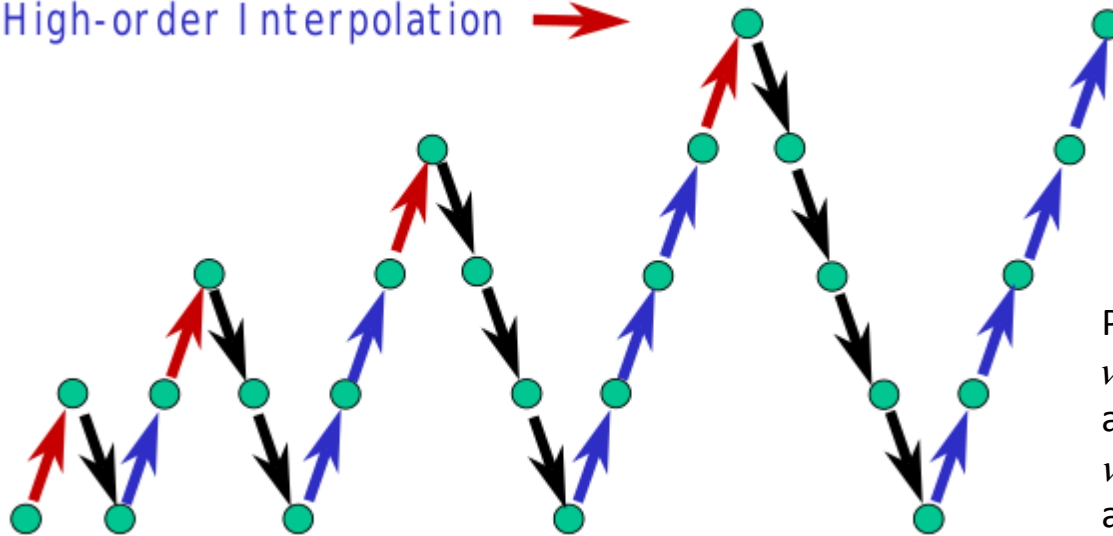
Soluzione esatta:
una sola incognita

PDE – Full MultiGrid V Cycle

Come ottenere una buona stima iniziale?

Partendo dalla griglia meno densa: **Full MultiGrid V-Cycle (FMG)**

- Restriction 
- Interpolation 
- High-order Interpolation 



FMG con $\nu_0 = 1$

Parametri:

ν_0 : numero di V-Cycle da eseguire ad ogni livello

ν_1 : passi di rilassamento eseguiti ad ogni livello durante la discesa

ν_2 : passi di rilassamento eseguiti ad ogni livello durante la risalita

PDE – Full MultiGrid V Cycle

Riepilogo:

- Full MultiGrid (**FMG**) V-Cycle è il miglior algoritmo MultiGrid per la risoluzione di PDE
- Il FMG richiede un elevatissimo numero di calcoli: ogni griglia deve essere visitata più volte per intero per aggiornare il valore della soluzione (**Collo di bottiglia!**)

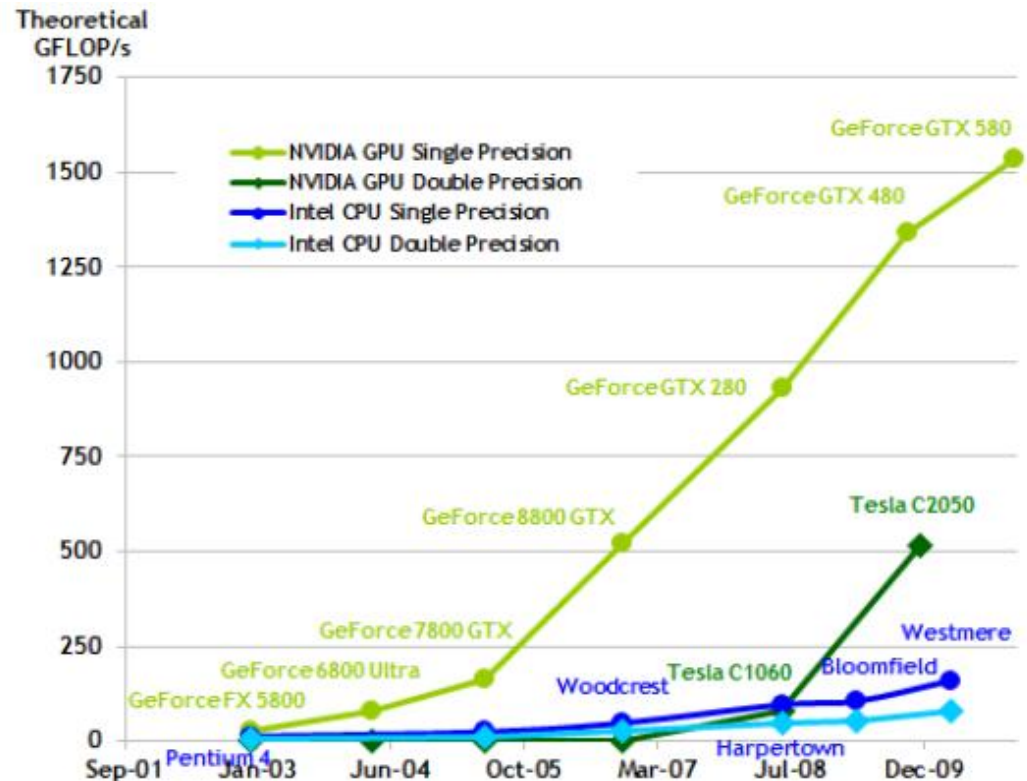
Soluzione: eseguire le iterazioni in parallelo —————> **CUDA**

CUDA

Compute Unified Device Architecture: paradigma di programmazione parallela improntato all'utilizzo della Gpu in domini diversi dal rendering grafico.

Perchè utilizzare la Gpu?

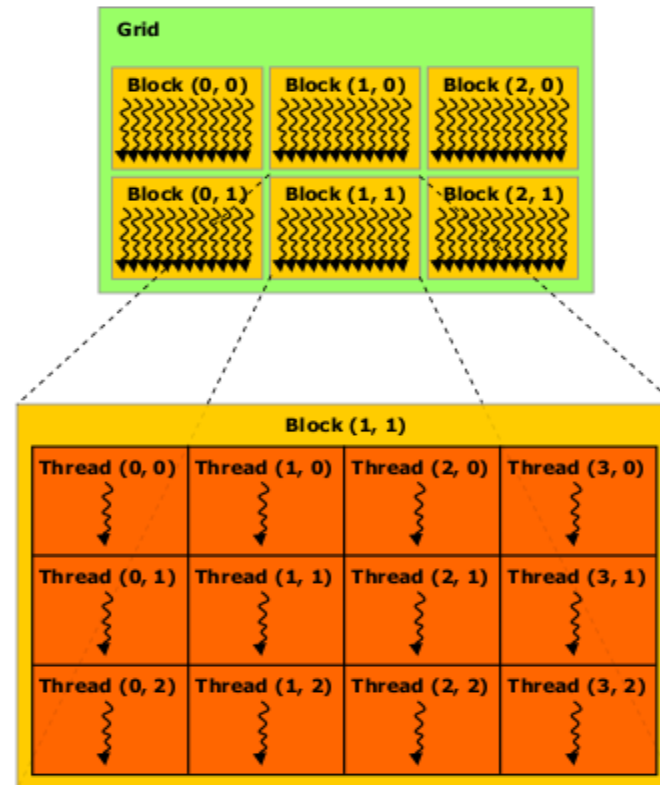
Si è evoluta come un'architettura fortemente parallela per via del suo usuale dominio applicativo: **Rendering 3D.**



CUDA

Struttura applicazione Cuda (**Kernel**):

Un Kernel viene diviso in una **griglia** (fino a 2D) di **blocchi**, ogni blocco costituente un **vettore** (fino a 3D) di **thread**. Ogni elemento del vettore (**linearizzato**) da processare viene assegnato ad un thread.



La dimensione massima di un Kernel (2D) costituisce un limite per PDE in 3D:
è stato necessario sviluppare un algoritmo per la gestione dei thread all'interno dei blocchi in tale contesto.

Applicazioni

- **1D:** Equazione differenziale ordinaria

$$u' - \frac{u(x)}{e^x + 1} = e^x \quad (12)$$

- **2D:** Equazione di **Lyapunov**

$$\frac{\partial V}{\partial x_1} (a_{11}x_1 + a_{12}x_2) + \frac{\partial V}{\partial x_2} (a_{21}x_1 + a_{22}x_2) = -\alpha V \quad (13)$$

$$A = \begin{bmatrix} a_{11} & a_{12} \\ a_{21} & a_{22} \end{bmatrix}$$

$$\alpha > 0$$

- **3D:** Equazione di **Poisson**

$$\nabla^2 V = \frac{\partial^2 V}{\partial x^2} + \frac{\partial^2 V}{\partial y^2} + \frac{\partial^2 V}{\partial z^2} = f(x, y, z) \quad (14)$$

Applicazioni

Piattaforma Hardware:

- Processore: Pentium Dual Core Processor E5400: 2.7Ghz, 800 Mhz Fsb
- Memoria Ram: 2Gb
- Scheda video: Geforce GTX 550Ti 1Gb, 192 Cuda Cores

Software realizzato:

Implementazione di algoritmi MultiGrid con codice CPU e GPU (**CUDA**)

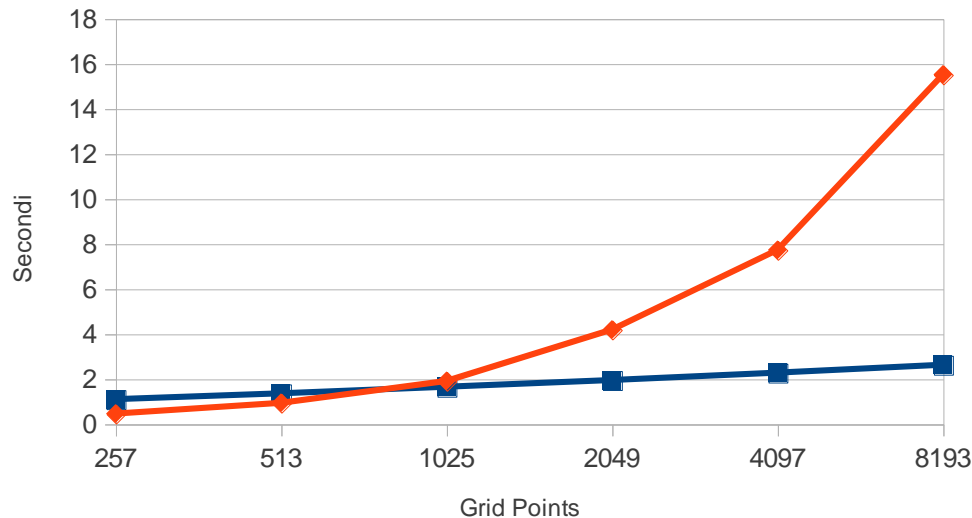
Applicazioni – Gpu vs Cpu

- **1D:** Equazione differenziale ordinaria

$$u' - \frac{u(x)}{e^x + 1} = e^x \quad (15)$$

$$v_j = \frac{v_{j+1}(e^{x_j} + 1) - e^{x_j} h_x (e^{x_j} + 1)}{e^{x_j} + 1 + h_x} \quad (16)$$

ODE 1D: GPU vs CPU



$\Omega: [0,1]$

$v_0 = 2$

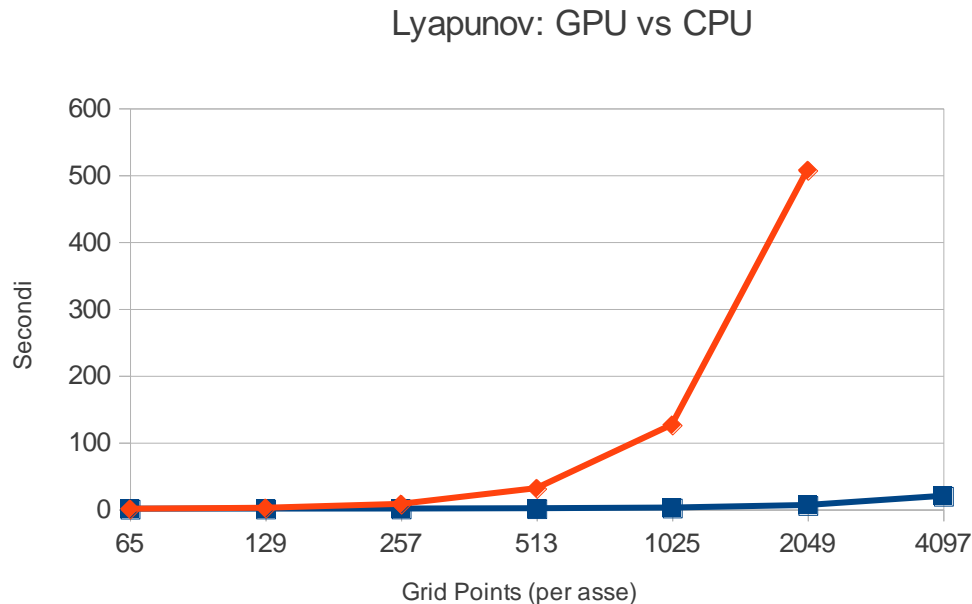
$v_1 = v_2 = 1000$

Applicazioni – Gpu vs Cpu

- **2D: Equazione di Lyapunov**

$$\frac{\partial V}{\partial x_1} \overbrace{(-x_1 + -2x_2)}^{K_1} + \frac{\partial V}{\partial x_2} \overbrace{(0 \cdot x_1 + -3x_2)}^{K_2} = -2 \cdot V \quad (16)$$

$$v_{i,j} = \frac{u_{i,j+1} h_y K_1 + v_{i+1,j} h_x K_2}{-2h_x h_y + K_1 h_y + K_2 h_x} \quad (17)$$



$$\Omega: [0, 20]^2$$

$$v_0 = 2$$

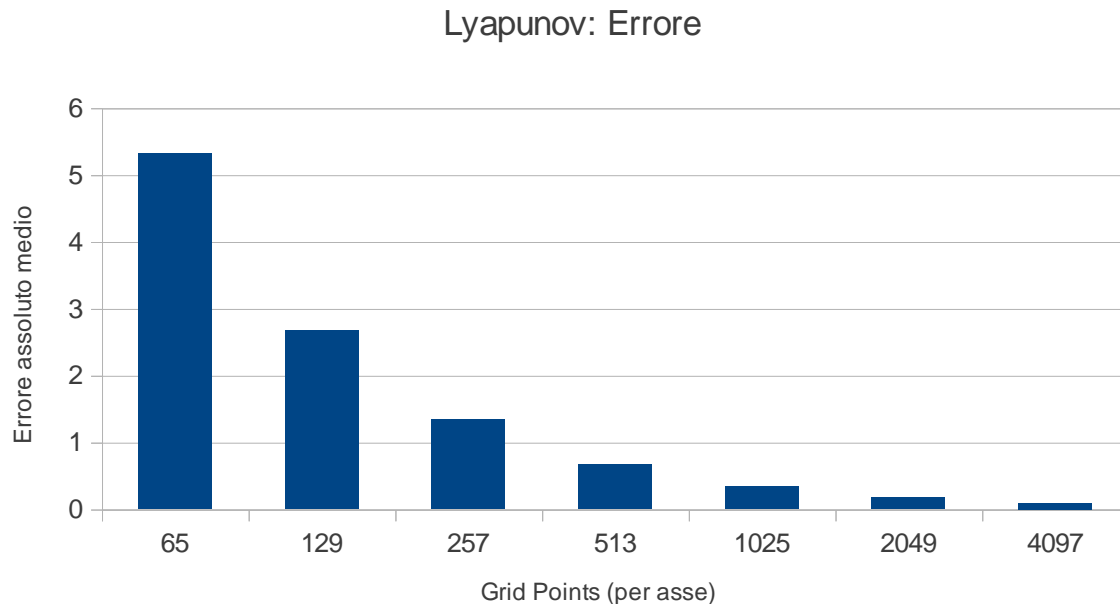
$$v_1 = v_2 = 500$$

Applicazioni – Gpu vs Cpu

- **2D: Equazione di Lyapunov**

$$\frac{\partial V}{\partial x_1} \overbrace{(-x_1 + -2x_2)}^{K_1} + \frac{\partial V}{\partial x_2} \overbrace{(0 \cdot x_1 + -3x_2)}^{K_2} = -2 \cdot V \quad (16)$$

$$v_{i,j} = \frac{u_{i,j+1}h_y K_1 + v_{i+1,j}h_x K_2}{-2h_x h_y + K_1 h_y + K_2 h_x} \quad (17)$$



$$\begin{aligned} \Omega &: [0, 20]^2 \\ v_0 &= 2 \\ v_1 &= v_2 = 500 \end{aligned}$$

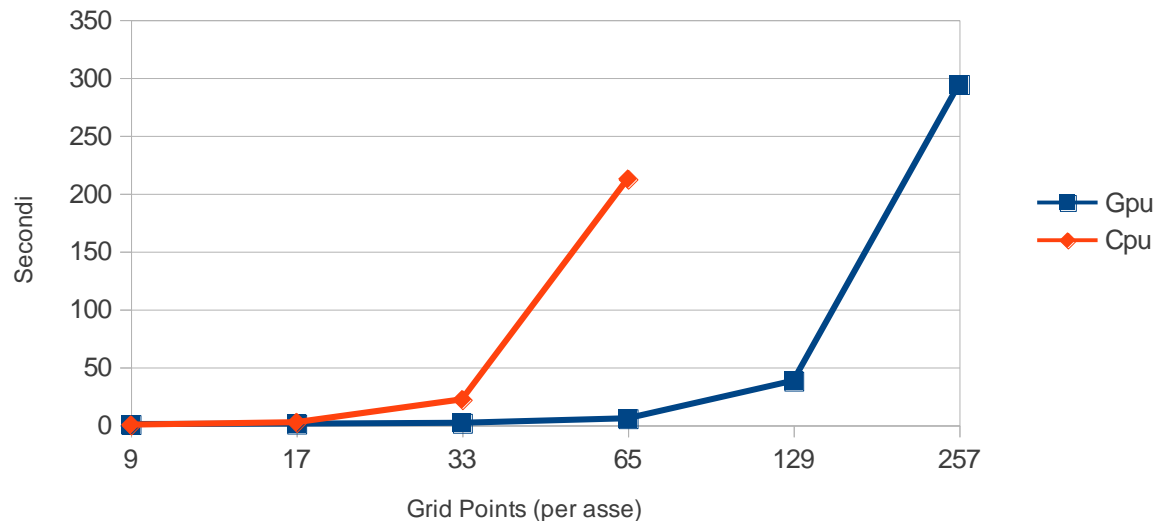
Applicazioni – Gpu vs Cpu

- **3D: Equazione di Poisson**

$$\nabla^2 V = \frac{\partial^2 V}{\partial x^2} + \frac{\partial^2 V}{\partial y^2} + \frac{\partial^2 V}{\partial z^2} = -3\pi^2 \sin(\pi x) \sin(\pi y) \sin(\pi z) \quad (18)$$

$$v_{i,j,k} = \frac{(v_{i-1,j,k} h_x^2 h_z^2 + v_{i+1,j,k} h_x^2 h_z^2) + (v_{i,j-1,k} h_y^2 h_z^2 + v_{i,j+1,k} h_y^2 h_z^2) + (v_{i,j,k-1} h_y^2 h_x^2 + v_{i,j,k+1} h_y^2 h_x^2)}{2(h_x^2 h_z^2 + h_y^2 h_z^2 + h_y^2 h_x^2)} \quad (19)$$

Poisson 3D: GPU vs CPU



$\Omega: [0,1]^3$
 $v_0 = 2$
 $v_1 = v_2 = 3000$

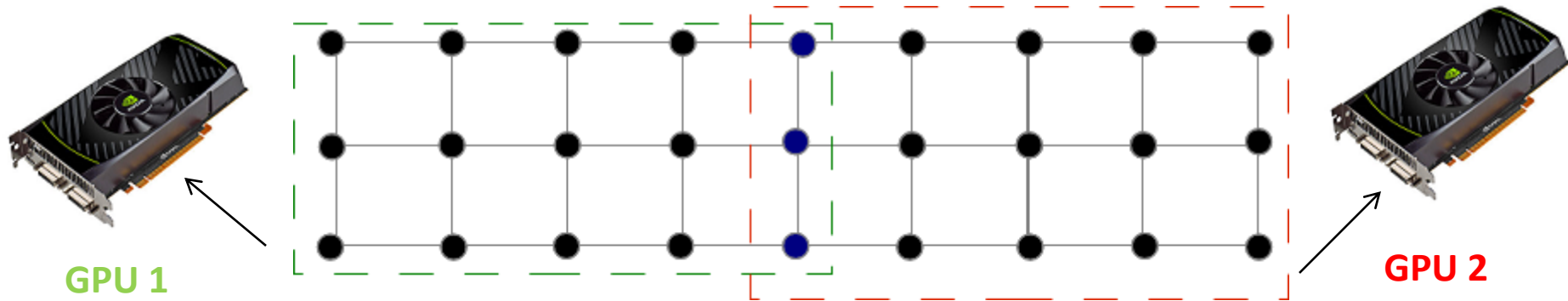
Conclusioni

- Sono stati studiati metodi per la risoluzione di PDE
- Sono state studiate librerie per il calcolo parallelo su GPU: CUDA
- Gli algoritmi Risolutori sono stati implementati su Gpu tramite CUDA (e su Cpu per il confronto)
- Il Full MultiGrid V-Cycle costituisce un ottimo metodo per la risoluzione di PDE (il migliore dei metodi MultiGrid)
- Tramite l'utilizzo delle CUDA il tempo necessario ad eseguire il FMG è drasticamente ridotto

Sviluppi futuri

E' possibile fare di meglio?

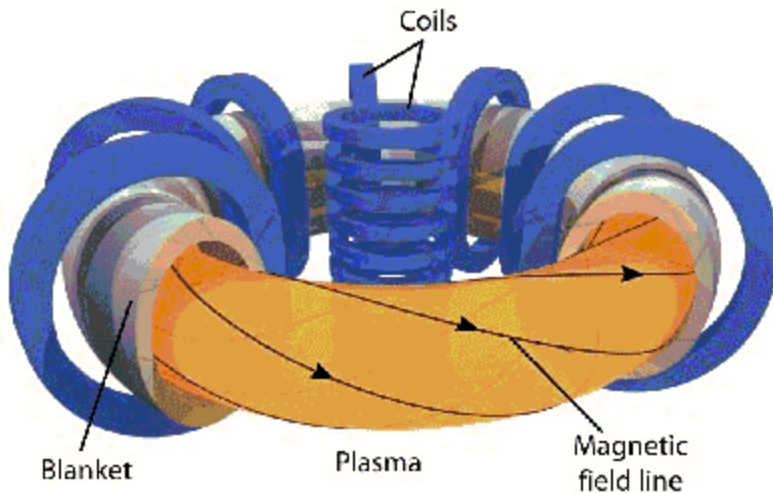
- Utilizzo di più Gpu in parallelo: ogni griglia viene divisa in sottogriglie assegnate a Gpu diverse



Sviluppi futuri

- Risoluzione di **Pde non Lineari**
- Equazione di **Grad Shafranov**

$$\Delta^* \psi = -\mu_0 R^2 \frac{dp}{d\psi} - \frac{1}{2} \frac{dF^2}{d\psi} \quad (20)$$



Tokamak

Magnetofluidodinamica: dinamica dei fluidi elettricamente conduttori

Regola movimento del plasma all'interno di una forma toroidale (**Tokamak** – fusione termonucleare)